

## ОПТИЧЕСКИЕ КВАНТОВЫЕ ГЕНЕРАТОРЫ УЛЬТРАФИОЛЕТОВОГО ДИАПАЗОНА НА МОЛЕКУЛАХ ОРГАНИЧЕСКИХ СЦИНТИЛЛЯТОРОВ

Г. А. Абакумов, А. П. Симонов, В. В. Фадеев,  
Л. А. Харитонов, Р. В. Хохлов

В настоящей работе сообщается о получении мощного лазерного излучения на новом классе рабочих веществ — органических сцинтилляторах.

Целый ряд сцинтилляторов обладает высоким коэффициентом extinction в области поглощения и большим квантовым выходом люминесценции. Флюресценция растворов многих из них сравнительно слабо тушится молекулярным кислородом.

Для исследований был выбран ряд соединений — представителей ароматических углеводородов, арил-оксазолов, арилоксадиазолов, арил-

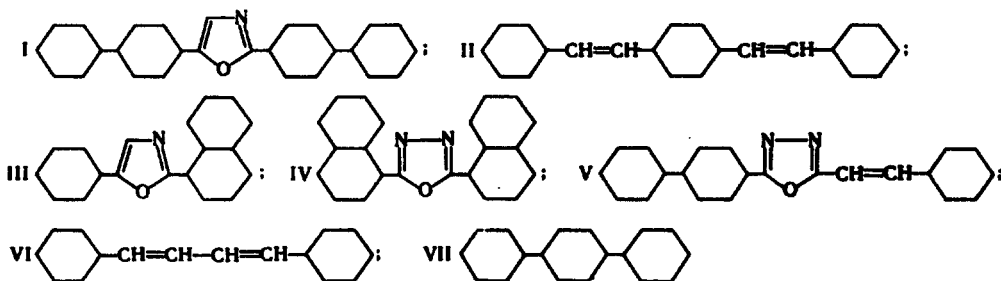


Рис. 1. Исследованные соединения: I — 2,5-ди (бифенил)-1,4-оксазол; II — 1,4-дистирил-бензол; III — 2-фенил-5- $\alpha$ -нафтил-1,4-оксазол; IV — 2,5-ди ( $\alpha$ -нафтил)-1,3,4-оксадиазол; V — 2-бифенил-5-стирил-1,3,4-оксадиазол; VI — дифенилбутадиен; VII — пара-терфенил

этиленов и дифенилполиенов (см. рис. 1). Молекулы этих соединений обладают достаточно интенсивным поглощением в области излучения третьей и четвертой гармоник неодимового лазера (соответственно 353 и 265 нм), которые были использованы в качестве накачки, и флюресцируют в ультрафиолетовой области спектра.

Эксперименты проводились на установке, блок-схема которой представлена на рис. 2. Излучение неодимового лазера (модуляция добротности с помощью вращающейся призмы, мощность 300 – 400 МэВ) преобразовывалось во вторую гармонику ( $P = 20 - 30$  МэВ), а затем либо в третью ( $P = 7 - 8$  МэВ), либо в четвертую ( $P = 0,5 - 0,6$  МэВ). Кювета

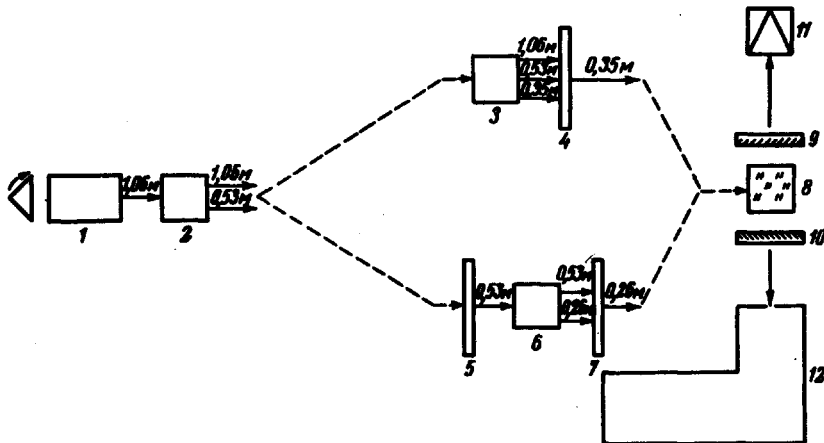


Рис. 2. Блок-схема экспериментальной установки: 1 – неодимовый лазер, 2, 3, 6 – кристаллы KDP. 4, 5, 7 – фильтры, 9, 10 – зеркала, 8 – кювета с раствором, 11 – калориметр, 12 – спектрограф ИСП-30

с раствором (кувета не откачивалась) при комнатной температуре помещалась в резонатор, оптическая ось которого перпендикулярна лучу накачки (поперечный вариант). Целью экспериментов было получение генерации. Оптимальные параметры системы для получения максимальной выходной мощности не выбирались. Результаты экспериментов представлены в таблице и на рис. 3. Кроме того, для лазера на паратерфениле была измерена расходимость пучка, которая составила 4 – 5°. Интересно отметить, что даже такие простые по электронному строению молекулы, как паратерфенил или дифенилбутадиен, оказались способными генерировать излучение. Лазеры на использованных молекулах работают по обычной схеме двух синглетных уровней, уширенных за счет системы колебательных и вращательных подуровней [1]. Результаты экспериментов свидетельствуют о том, что генерация лазерного излучения на основе указанного механизма может быть осуществлена не только на красителях, но и на многих органических соединениях других классов.

Таким образом, впервые получена генерация УФ-излучения на растворах органических сцинтилляторов. Такие ОКГ могут найти при-

менение в ряде исследований, в частности фотохимических, когда необходимо располагать достаточно мощным монохроматическим излучением в диапазоне 400 – 200 нм. До сих пор в этом диапазоне имелось лишь несколько источников дискретных линий излучения: 353 (третья гармоника неодимового лазера), 347 (вторая гармоника рубинового лазера), 337 (газовый лазер на молекулярном азоте) и 265 нм (четвертая гармоника неодимового лазера).

Соединение (см. рис. 1)	$\lambda_{\text{нак.}}$ , нм	Растворитель	Концентрация, $10^{-3}$ моль/л	$\lambda_{\text{ген.}}$ , нм	$\Delta\lambda_{\text{ген.}}$ , Å	$R_{\text{нак.}}$ , Мсм	Коэффициент преобразова- ния, %	Порог гене- рации, кжм	$R_1 \times R_2^1$
I	353	Толуол	2,6	409	60	8	4		$0,31 \times 0,71$
		Толуол	0,7	409	60	8	–		$0,31 \times 0,71$
II	353	Толуол	1,6	411	40	8	7,5	50	$0,30 \times 0,71$
				417	40				$0,45 \times 0,66$
III	353	Толуол	3,7	399,5	70	8	6,5	–	$0,37 \times 0,84$
IV	353	Толуол	3,1	391	50	8	6,5	100	$0,78 \times 0,85$
		Бензол	3,1	391	50	7	4,5	–	$0,78 \times 0,85$
V	353	Толуол	3,1	390,5	70	8	2,5		$0,78 \times 0,85$
		Бензол	3,1	391,5	50	7,5	3,5		$0,78 \times 0,85$
VI	353	Толуол	2,9	383	20	8	1,5	900	$0,66 \times 0,92$
VII	265	Цикло- гексан	1,3	341	60	0,6	1,3	300	$0,83 \times 0,94$

<sup>1)</sup>  $R_1$  и  $R_2$  – коэффициенты отражения зеркал 9 и 10 (рис. 3) на  $\lambda_{\text{ген.}}$ .

Нет сомнения в том, что число сцинтилляторов, способных генерировать в УФ-диапазоне спектра, может быть многократно увеличено, так что, по крайней мере, область спектра от 300 до 400 нм будет полностью перекрыта линиями генерации. Следует отметить, что даже в

неоптимальных условиях пороги генерации оказались невысокими. Это дает основание считать, что вполне возможно получение генерации УФ-излучения на таких соединениях с накачкой от ламп-вспышек. Важно также, что многие из соединений перечисленных выше типов, в отличие от красителей, используемых для получения лазерного излучения в видимом диапазоне спектра, значительно более стабильны по отношению к действию УФ-излучения, окислению и других факторов. Еще одним достоинством этих соединений является то, что они легко входят в пластмассовые матрицы и, следовательно, могут быть использованы для изготовления активных элементов твердотельных ОКГ.

Отметим также, что эти соединения являются хорошими акцепторами энергии, что может быть использовано для создания лазеров, в которых инверсия населенностей рабочих уровней создается за счет передачи энергии от других возбужденных молекул (доноров энергии).

Авторы признательны Р.Н.Нурмухаметову за предоставление ряда соединений и интерес к работе.

Московский  
государственный университет  
им. М.В.Ломоносова

Научно-исследовательский  
физико-химический институт

Поступило в редакцию  
24 октября 1968 г.

#### Литература

- [1] Б.И.Степанов, А.И.Рубинов. УФН, 95, 45, 1968.